

Рис. 1. Диаграммы направленности антенны
 БС-2 $\frac{14}{11} \cdot \frac{180}{4.5} \cdot 11$ в вертикальной плоскости

ШИФР
 РС 305 - 65

Чертеж
 20-014 ПЗ

Лист
 4

Формат 12

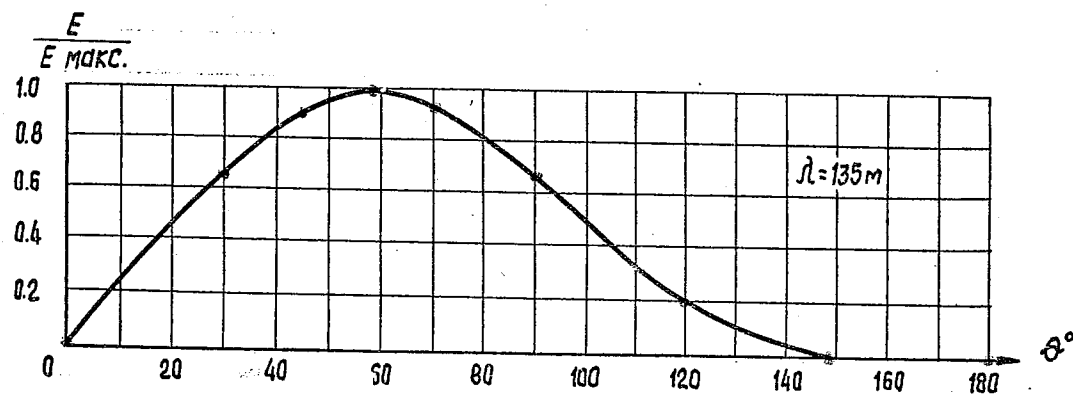
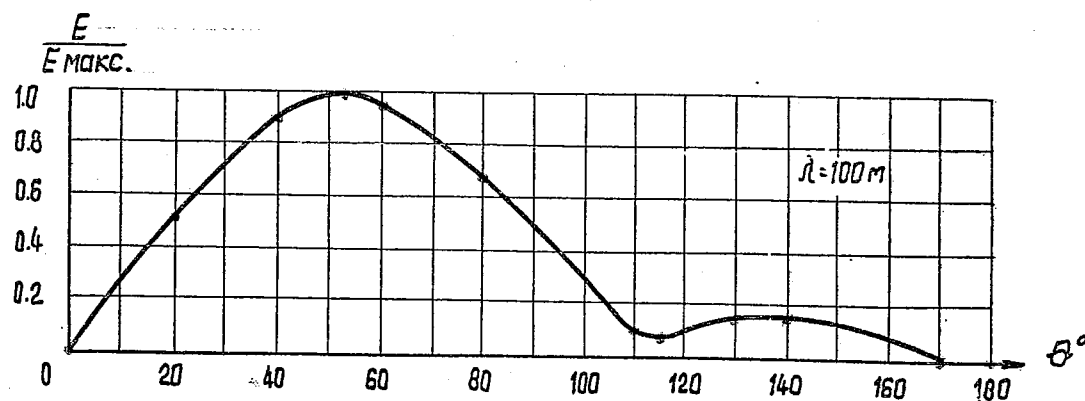
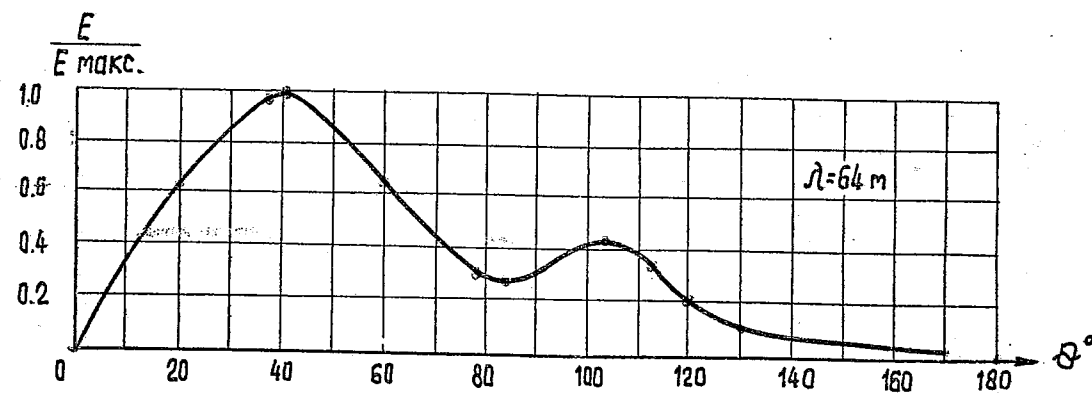


Рис. 2. Диаграммы направленности антенны
БС-2 $\frac{14}{11} \cdot \frac{180}{4.5}$ - 11 в вертикальной плоскости

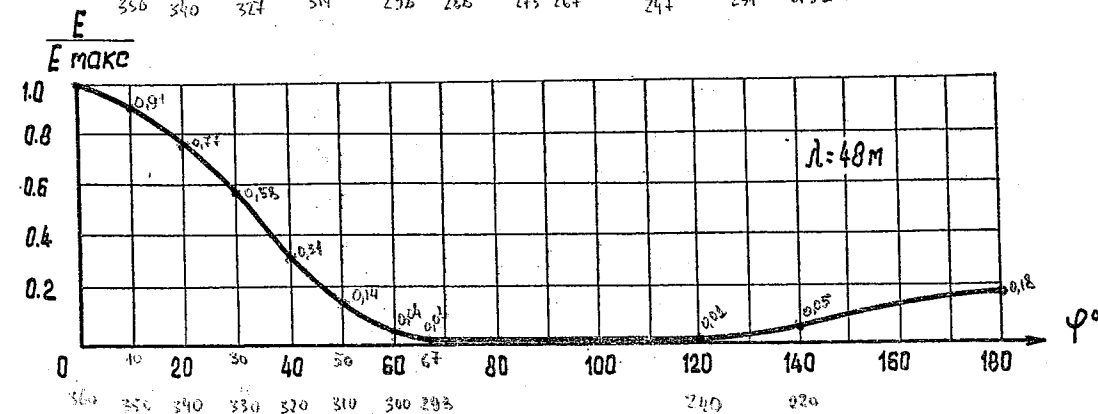
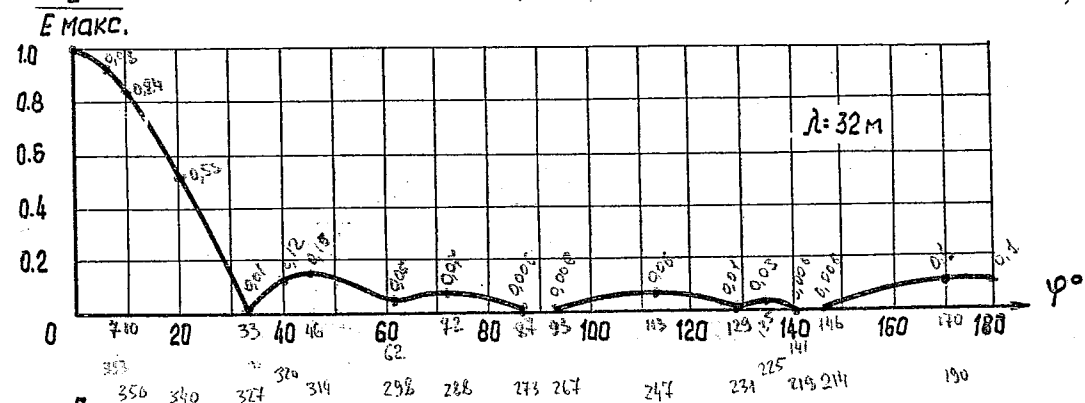
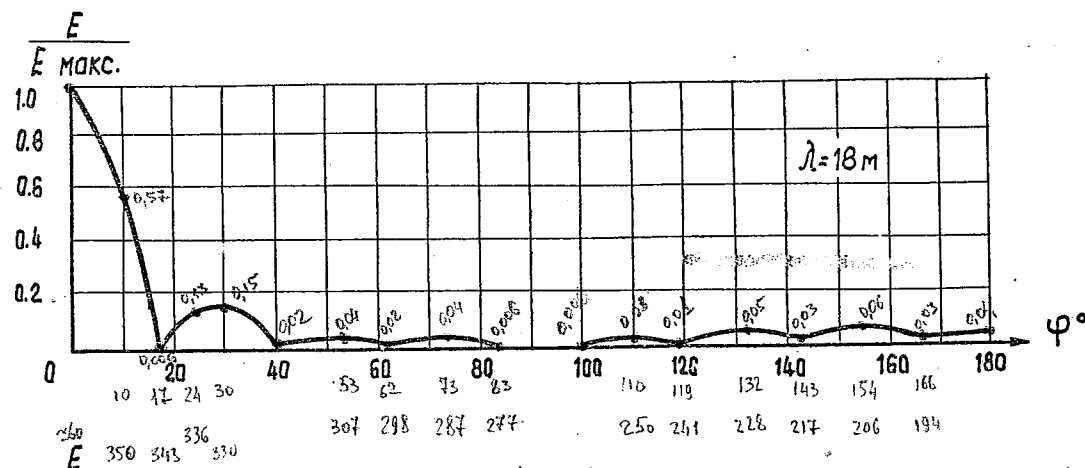


Рис. 3. Диаграммы направленности антенны
БС-2 $\frac{14}{11}$ - $\frac{180}{4.5}$ - 11 в горизонтальной плоскости

Ш и Ф Р
РС 305-85

чертеж
20-014 ПЗ

Лист
6

Формат 12

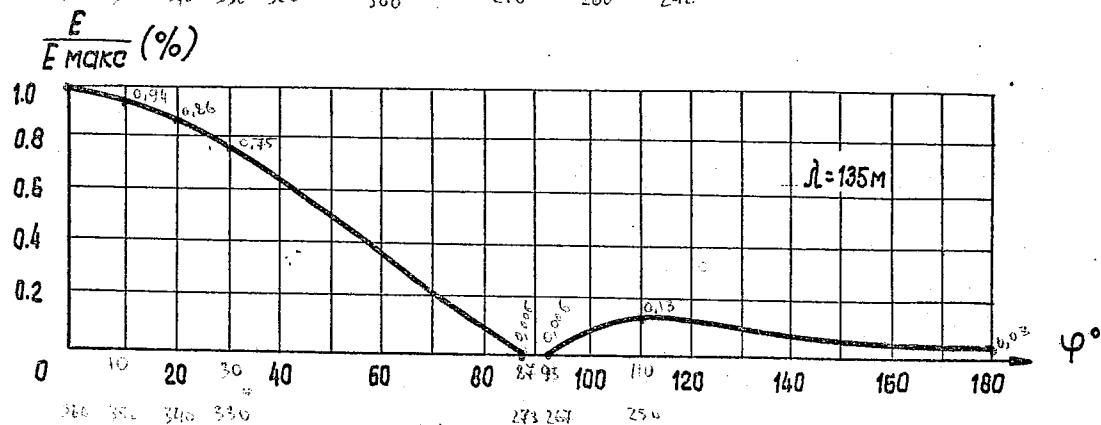
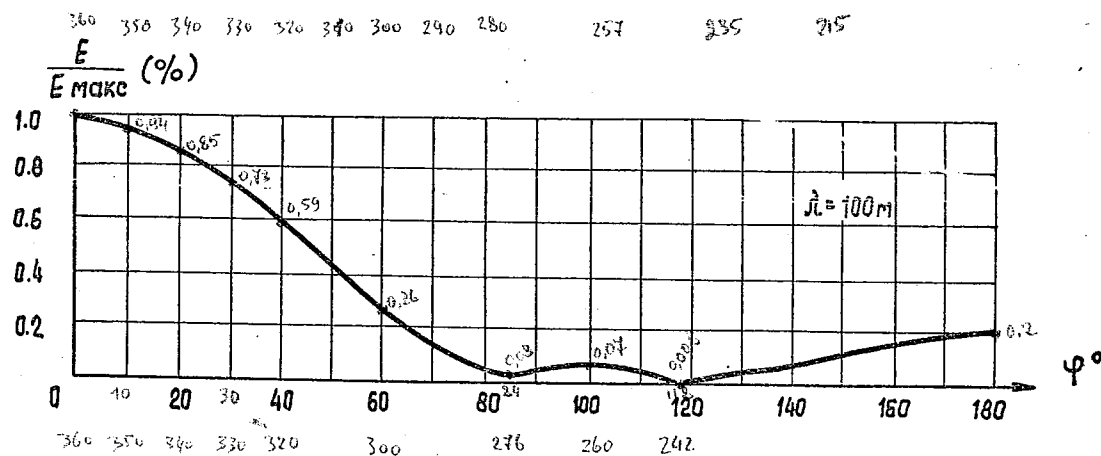
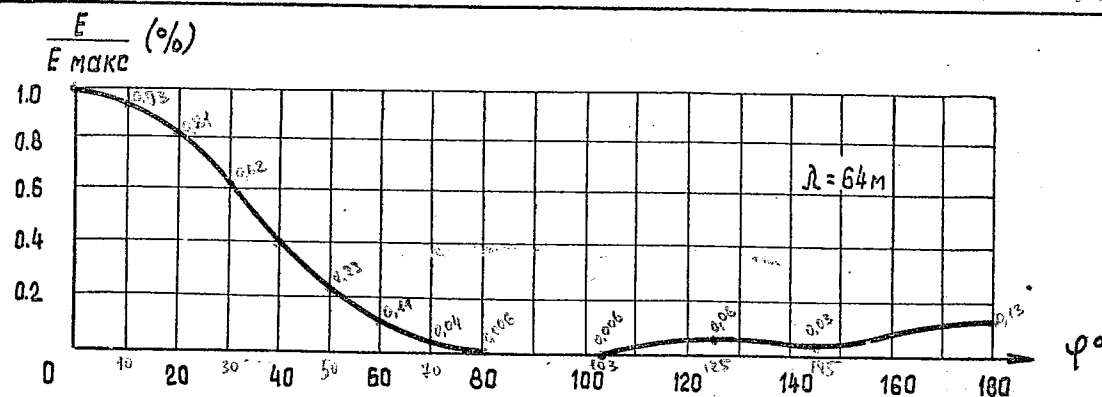


Рис. 4. Диаграммы направленности антенны
БС-2 $\frac{14}{11} \cdot \frac{100}{4.5} \cdot 11$ в горизонтальной плоскости

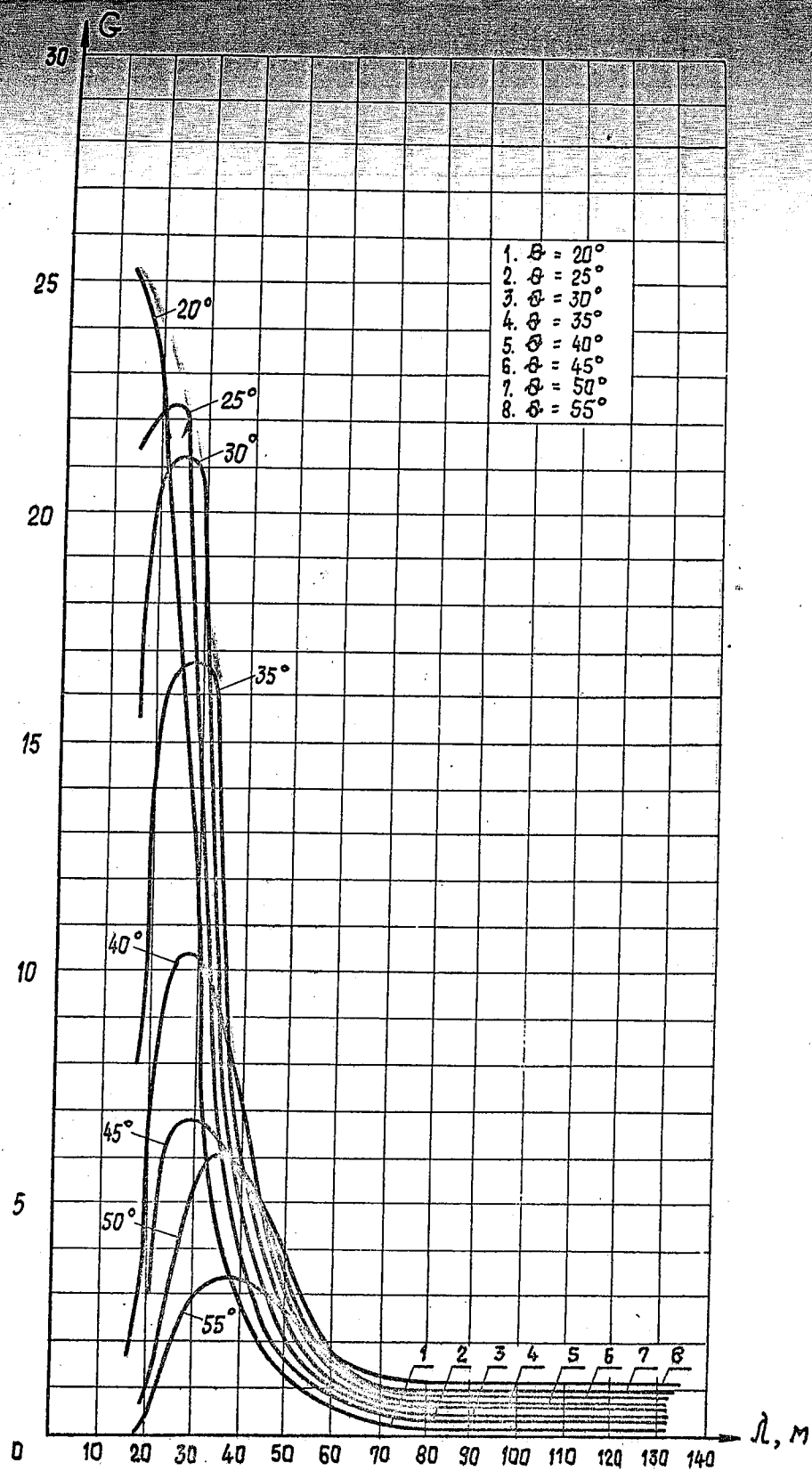


Рис. 5. Зависимость коэффициента усиления антенны БС-2 $\frac{14}{11} \cdot \frac{180}{4.5} \cdot 11$ от длины волны при различных углах наклона (θ) в вертикальной плоскости

ШФР
РС 305-05

чертеж
20-014ПЗ

8

лист

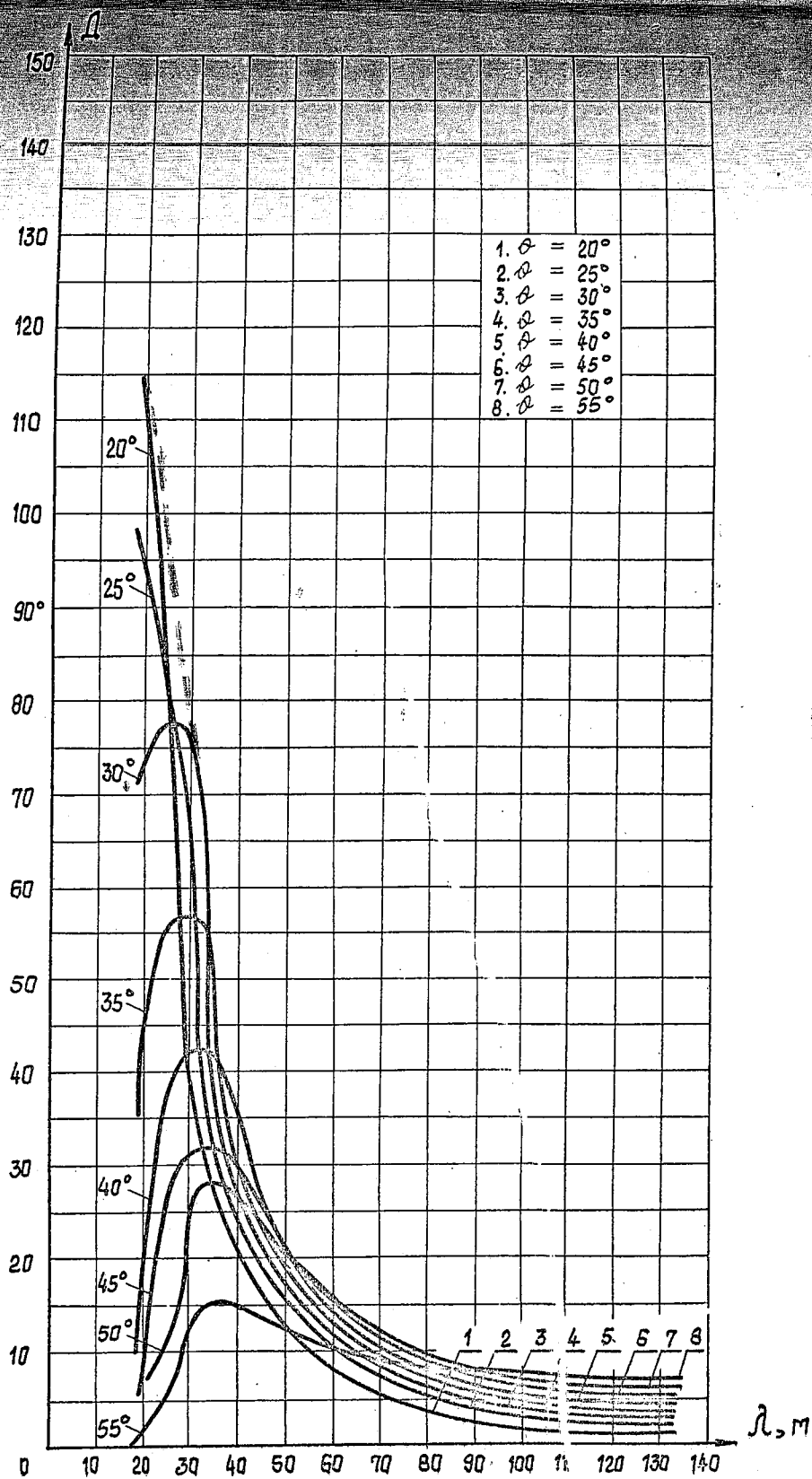


Рис. 6. Зависимость коэффициента направленного действия антенны БС-2 $\frac{14}{11} \cdot \frac{100}{4.5} \cdot 11$ от длины волны при различных углах наклона (θ) в вертикальной плоскости

ш.ф.р
РС 305-85

чертеж
20-014 ПЗ

лист
9

Формат 12

12